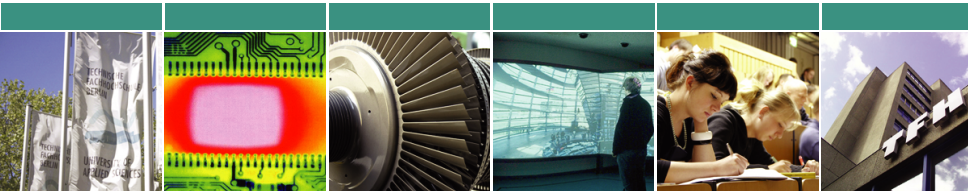




Rekonstruktionsverfahren für Computertomographie-Bilddaten

Präsentation der Bachelorarbeit

Radmir Gesler





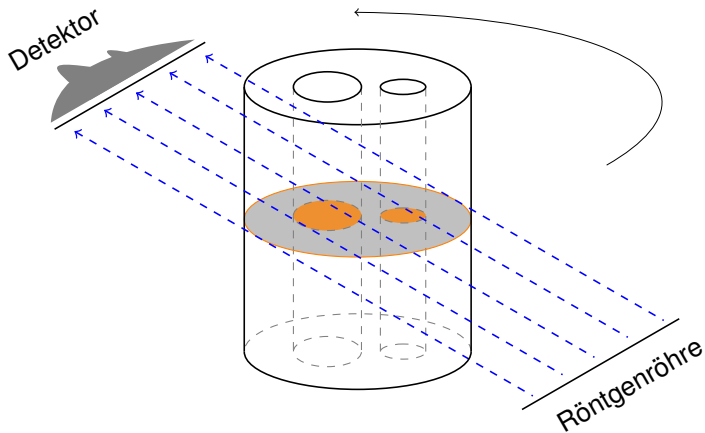
- 1 Computertomographie, das Prinzip und Modell
- 2 Computertomographie als inverses Problem
- 3 Rekonstruktionsverfahren
 - 3.1 Ungefilterte Rückprojektion
 - 3.2 Gefilterte Rückprojektion
 - 3.3 Iterative Rekonstruktion nach Kaczmarz
 - 3.4 Rekonstruktion durch Singulärwertzerlegung

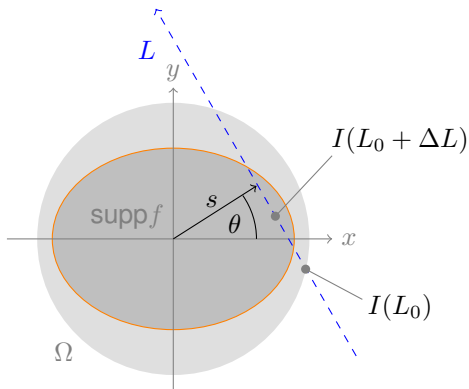


- 1 Computertomographie, das Prinzip und Modell
- 2 Computertomographie als inverses Problem
- 3 Rekonstruktionsverfahren
 - 3.1 Ungefilterte Rückprojektion
 - 3.2 Gefilterte Rückprojektion
 - 3.3 Iterative Rekonstruktion nach Kaczmarz
 - 3.4 Rekonstruktion durch Singulärwertzerlegung



- 1 Computertomographie, das Prinzip und Modell
- 2 Computertomographie als inverses Problem
- 3 Rekonstruktionsverfahren
 - 3.1 Ungefilterte Rückprojektion
 - 3.2 Gefilterte Rückprojektion
 - 3.3 Iterative Rekonstruktion nach Kaczmarz
 - 3.4 Rekonstruktion durch Singulärwertzerlegung





$$I(L_0 + \Delta L) - I(L_0) = -f(L) \parallel \Delta L \parallel I(L_0).$$



Definition

Sei nun $f : \Omega \subseteq \mathbb{R}^2 \rightarrow \mathbb{R}$ eine integrierbare Funktion, dann ist ihre Radon Transformation durch

$$\mathcal{R}f(s, \theta) := \int_{-\gamma(s)}^{\gamma(s)} f(L(s, \theta, t)) dt \quad (1)$$

definiert. Hier ist $\Omega = \{(x, y) \in \mathbb{R}^2 \mid x^2 + y^2 \leq 1\}$.

$$\begin{aligned} L(s, \theta, t) &= s \begin{pmatrix} \cos(\theta) \\ \sin(\theta) \end{pmatrix} + t \begin{pmatrix} -\sin(\theta) \\ \cos(\theta) \end{pmatrix}, \quad s, t \in \mathbb{R}; \theta \in [0, \pi]. \quad (2) \\ &= s\omega(\theta) + t\omega^\perp(\theta) \end{aligned}$$

$$\gamma(s) = \begin{cases} \sqrt{1-s^2} & : |s| \leq 1 \\ 0 & : \text{sonst} \end{cases} \quad (3)$$



Definition

Sei nun $f : \Omega \subseteq \mathbb{R}^2 \rightarrow \mathbb{R}$ eine integrierbare Funktion, dann ist ihre Radon Transformation durch

$$\mathcal{R}f(s, \theta) := \int_{-\gamma(s)}^{\gamma(s)} f(L(s, \theta, t)) dt \quad (1)$$

definiert. Hier ist $\Omega = \{(x, y) \in \mathbb{R}^2 \mid x^2 + y^2 \leq 1\}$.

$$\begin{aligned} L(s, \theta, t) &= s \begin{pmatrix} \cos(\theta) \\ \sin(\theta) \end{pmatrix} + t \begin{pmatrix} -\sin(\theta) \\ \cos(\theta) \end{pmatrix}, \quad s, t \in \mathbb{R}; \theta \in [0, \pi]. \\ &= s\omega(\theta) + t\omega^\perp(\theta) \end{aligned} \quad (2)$$

$$\gamma(s) = \begin{cases} \sqrt{1-s^2} & : |s| \leq 1 \\ 0 & : \text{sonst} \end{cases} \quad (3)$$



Definition

Sei nun $f : \Omega \subseteq \mathbb{R}^2 \rightarrow \mathbb{R}$ eine integrierbare Funktion, dann ist ihre Radon Transformation durch

$$\mathcal{R}f(s, \theta) := \int_{-\gamma(s)}^{\gamma(s)} f(L(s, \theta, t)) dt \quad (1)$$

definiert. Hier ist $\Omega = \{(x, y) \in \mathbb{R}^2 \mid x^2 + y^2 \leq 1\}$.

$$\begin{aligned} L(s, \theta, t) &= s \begin{pmatrix} \cos(\theta) \\ \sin(\theta) \end{pmatrix} + t \begin{pmatrix} -\sin(\theta) \\ \cos(\theta) \end{pmatrix}, \quad s, t \in \mathbb{R}; \theta \in [0, \pi]. \quad (2) \\ &= s\omega(\theta) + t\omega^\perp(\theta) \end{aligned}$$

$$\gamma(s) = \begin{cases} \sqrt{1-s^2} & : |s| \leq 1 \\ 0 & : \text{sonst} \end{cases}. \quad (3)$$



Im Folgenden betrachten wir die Radon-Transformation als $\mathcal{R} : L^2(\Omega) \rightarrow L^2(Z)$.

Die Radon Transformation ist:

1. Linear, also $\mathcal{R}(\alpha f + \beta g) = \alpha \mathcal{R}f + \beta \mathcal{R}g$.
2. \mathcal{R} ist beschränkt $\|\mathcal{R}f(s, \theta)\|_{L^2(Z)}^2 \leq 2\pi \|f\|_{L^2(\Omega)}^2$, somit auch stetig.
3. \mathcal{R} hat einen adjungierten Operator $\mathcal{R}^* : L^2(Z) \rightarrow L^2(\Omega)$

$$\mathcal{R}^*g(x) = \int_0^\pi g(x^T \omega(\theta), \theta) d\theta. \quad (4)$$

4. \mathcal{R} ist kompakt, somit ist auch \mathcal{R}^* kompakt (nach Satz von Schauder).



Im Folgenden betrachten wir die Radon-Transformation als $\mathcal{R} : L^2(\Omega) \rightarrow L^2(Z)$.

Die Radon Transformation ist:

1. Linear, also $\mathcal{R}(\alpha f + \beta g) = \alpha \mathcal{R}f + \beta \mathcal{R}g$.
2. \mathcal{R} ist beschränkt $\|\mathcal{R}f(s, \theta)\|_{L^2(Z)}^2 \leq 2\pi \|f\|_{L^2(\Omega)}^2$, somit auch stetig.
3. \mathcal{R} hat einen adjungierten Operator $\mathcal{R}^* : L^2(Z) \rightarrow L^2(\Omega)$

$$\mathcal{R}^*g(x) = \int_0^\pi g(x^T \omega(\theta), \theta) d\theta. \quad (4)$$

4. \mathcal{R} ist kompakt, somit ist auch \mathcal{R}^* kompakt (nach Satz von Schauder).



Im Folgenden betrachten wir die Radon-Transformation als $\mathcal{R} : L^2(\Omega) \rightarrow L^2(Z)$.

Die Radon Transformation ist:

1. Linear, also $\mathcal{R}(\alpha f + \beta g) = \alpha \mathcal{R}f + \beta \mathcal{R}g$.
2. \mathcal{R} ist beschränkt $\|\mathcal{R}f(s, \theta)\|_{L^2(Z)}^2 \leq 2\pi \|f\|_{L^2(\Omega)}^2$, somit auch stetig.
3. \mathcal{R} hat einen adjungierten Operator $\mathcal{R}^* : L^2(Z) \rightarrow L^2(\Omega)$

$$\mathcal{R}^*g(x) = \int_0^\pi g(x^T \omega(\theta), \theta) d\theta. \quad (4)$$

4. \mathcal{R} ist kompakt, somit ist auch \mathcal{R}^* kompakt (nach Satz von Schauder).



Im Folgenden betrachten wir die Radon-Transformation als $\mathcal{R} : L^2(\Omega) \rightarrow L^2(Z)$.

Die Radon Transformation ist:

1. Linear, also $\mathcal{R}(\alpha f + \beta g) = \alpha \mathcal{R}f + \beta \mathcal{R}g$.
2. \mathcal{R} ist beschränkt $\|\mathcal{R}f(s, \theta)\|_{L^2(Z)}^2 \leq 2\pi \|f\|_{L^2(\Omega)}^2$, somit auch stetig.
3. \mathcal{R} hat einen adjungierten Operator $\mathcal{R}^* : L^2(Z) \rightarrow L^2(\Omega)$

$$\mathcal{R}^*g(x) = \int_0^\pi g(x^T \omega(\theta), \theta) d\theta. \quad (4)$$

4. \mathcal{R} ist kompakt, somit ist auch \mathcal{R}^* kompakt (nach Satz von Schauder).



Im Folgenden betrachten wir die Radon-Transformation als $\mathcal{R} : L^2(\Omega) \rightarrow L^2(Z)$.

Die Radon Transformation ist:

1. Linear, also $\mathcal{R}(\alpha f + \beta g) = \alpha \mathcal{R}f + \beta \mathcal{R}sg$.
2. \mathcal{R} ist beschränkt $\|\mathcal{R}f(s, \theta)\|_{L^2(Z)}^2 \leq 2\pi \|f\|_{L^2(\Omega)}^2$, somit auch stetig.
3. \mathcal{R} hat einen adjungierten Operator $\mathcal{R}^* : L^2(Z) \rightarrow L^2(\Omega)$

$$\mathcal{R}^*g(x) = \int_0^\pi g(x^T \omega(\theta), \theta) d\theta. \quad (4)$$

4. \mathcal{R} ist kompakt, somit ist auch \mathcal{R}^* kompakt (nach Satz von Schauder).



Anhand der obigen Eigenschaften von \mathcal{R} ist es möglich die Singulärwertzerlegung für $\mathcal{R} : L^2(\Omega) \rightarrow L^2(Z)$ anzugeben (*Spektralsatz für selbstadjungierte kompakte Operatoren*).

$$\mathcal{R}f = \sum_{j=1}^{\infty} \sigma_j \langle f, v_j \rangle_{L^2(\Omega)} u_j. \quad (5)$$

Hier bezeichnen:

- $\{v_j\}_{j \in \mathbb{N}} \in L^2(\Omega)$ das Orthonormalsystem (ONS) von $\text{Kern}(\mathcal{R})^\perp$.
- $\sigma_j := \sqrt{\lambda_j}$, wobei $\{\lambda_j\}_{j \in \mathbb{N}}$ eine positive absteigende Folge der Eigenwerten von $\mathcal{R}\mathcal{R}^*$, die entweder abbricht oder gegen Null geht.
- $u_j := \sigma_j^{-1} \mathcal{R}v_j$, sodass $\{u_j\} \in L^2(Z)$ das ONS von $\overline{\text{Bild}(\mathcal{R})}$ ist.



Anhand der obigen Eigenschaften von \mathcal{R} ist es möglich die Singulärwertzerlegung für $\mathcal{R} : L^2(\Omega) \rightarrow L^2(Z)$ anzugeben (*Spektralsatz für selbstadjungierte kompakte Operatoren*).

$$\mathcal{R}f = \sum_{j=1}^{\infty} \sigma_j \langle f, v_j \rangle_{L^2(\Omega)} u_j. \quad (5)$$

Hier bezeichnen:

- $\{v_j\}_{j \in \mathbb{N}} \in L^2(\Omega)$ das Orthonormalsystem (ONS) von $\text{Kern}(\mathcal{R})^\perp$.
- $\sigma_j := \sqrt{\lambda_j}$, wobei $\{\lambda_j\}_{j \in \mathbb{N}}$ eine positive absteigende Folge der Eigenwerten von $\mathcal{R}\mathcal{R}^*$, die entweder abbricht oder gegen Null geht.
- $u_j := \sigma^{-1} \mathcal{R}v_j$, sodass $\{u_j\} \in L^2(Z)$ das ONS von $\overline{\text{Bild}(\mathcal{R})}$ ist.



Anhand der obigen Eigenschaften von \mathcal{R} ist es möglich die Singulärwertzerlegung für $\mathcal{R} : L^2(\Omega) \rightarrow L^2(Z)$ anzugeben (*Spektralsatz für selbstadjungierte kompakte Operatoren*).

$$\mathcal{R}f = \sum_{j=1}^{\infty} \sigma_j \langle f, v_j \rangle_{L^2(\Omega)} u_j. \quad (5)$$

Hier bezeichnen:

- $\{v_j\}_{j \in \mathbb{N}} \in L^2(\Omega)$ das Orthonormalsystem (ONS) von $\text{Kern}(\mathcal{R})^\perp$.
- $\sigma_j := \sqrt{\lambda_j}$, wobei $\{\lambda_j\}_{j \in \mathbb{N}}$ eine positive absteigende Folge der Eigenwerten von $\mathcal{R}\mathcal{R}^*$, die entweder abbricht oder gegen Null geht.
- $u_j := \sigma_j^{-1} \mathcal{R}v_j$, sodass $\{u_j\} \in L^2(Z)$ das ONS von $\overline{\text{Bild}(\mathcal{R})}$ ist.



Anhand der obigen Eigenschaften von \mathcal{R} ist es möglich die Singulärwertzerlegung für $\mathcal{R} : L^2(\Omega) \rightarrow L^2(Z)$ anzugeben (*Spektralsatz für selbstadjungierte kompakte Operatoren*).

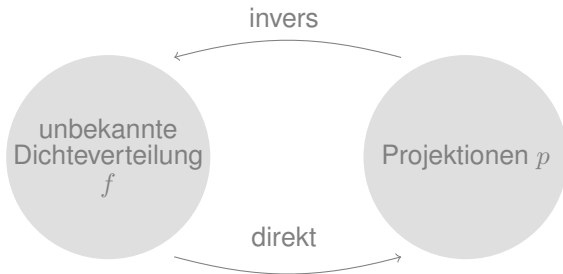
$$\mathcal{R}f = \sum_{j=1}^{\infty} \sigma_j \langle f, v_j \rangle_{L^2(\Omega)} u_j. \quad (5)$$

Hier bezeichnen:

- $\{v_j\}_{j \in \mathbb{N}} \in L^2(\Omega)$ das Orthonormalsystem (ONS) von $\text{Kern}(\mathcal{R})^\perp$.
- $\sigma_j := \sqrt{\lambda_j}$, wobei $\{\lambda_j\}_{j \in \mathbb{N}}$ eine positive absteigende Folge der Eigenwerten von $\mathcal{R}\mathcal{R}^*$, die entweder abbricht oder gegen Null geht.
- $u_j := \sigma^{-1} \mathcal{R}v_j$, sodass $\{u_j\} \in L^2(Z)$ das ONS von $\overline{\text{Bild}(\mathcal{R})}$ ist.



Übertragung auf das Rekonstruktionsproblem aus den CT-Bilddaten



Das heißt, man sucht nach einer zu \mathcal{R} inversen Abbildung, sodass aus den Projektionsdaten die unbekannte Dichteverteilung f berechnet werden kann.



Mögliche Invertierung des Operators \mathcal{R} kann aus der Gleichung 4 hergeleitet werden:

$$\mathcal{R}^+ g = \sum_{j=1}^{\infty} \sigma_j^{-1} \langle g, u_j \rangle_{L^2(Z)} v_j. \quad (6)$$

Problem:

$$\sigma_j^{-1} \xrightarrow{j \rightarrow \infty} \infty$$

Was zu einer Oszillation in der Lösung führen kann.

Ziel:

Die Oszillation zu dämpfen, was im allgemeinen als **Regularisierung** bezeichnet wird.



Mögliche Invertierung des Operators \mathcal{R} kann aus der Gleichung 4 hergeleitet werden:

$$\mathcal{R}^+ g = \sum_{j=1}^{\infty} \sigma_j^{-1} \langle g, u_j \rangle_{L^2(Z)} v_j. \quad (6)$$

Problem:

$$\sigma_j^{-1} \xrightarrow{j \rightarrow \infty} \infty$$

Was zu einer Oszillation in der Lösung führen kann.

Ziel:

Die Oszillation zu dämpfen, was im allgemeinen als **Regularisierung** bezeichnet wird.



Mögliche Invertierung des Operators \mathcal{R} kann aus der Gleichung 4 hergeleitet werden:

$$\mathcal{R}^+ g = \sum_{j=1}^{\infty} \sigma_j^{-1} \langle g, u_j \rangle_{L^2(Z)} v_j. \quad (6)$$

Problem:

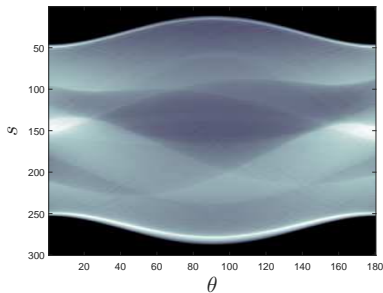
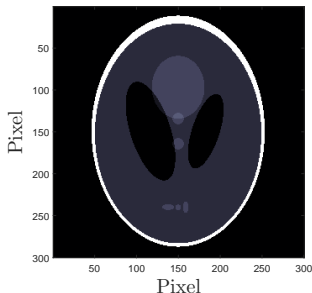
$$\sigma_j^{-1} \xrightarrow{j \rightarrow \infty} \infty$$

Was zu einer Oszillation in der Lösung führen kann.

Ziel:

Die Oszillation zu dämpfen, was im allgemeinen als **Regularisierung** bezeichnet wird.

Bedingung: die Rekonstruktionsverfahren werden für parallele Strahlengeometrie betrachtet.

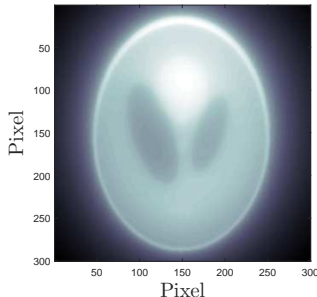


$$\mathcal{R}f(s, \theta) := \int_{-\gamma(s)}^{\gamma(s)} f(L(s, \theta, t)) dt \quad (7)$$

Die ungefilterte Rückprojektion ist genau der adjungierte Operator zu \mathcal{R}

$$\mathcal{R}^*g(x) = \int_0^\pi g(x^T \omega(\theta), \theta) d\theta \quad (8)$$

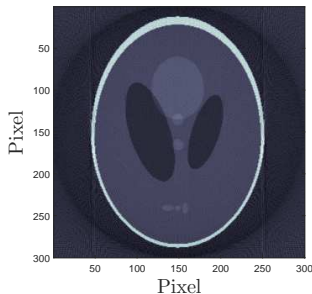
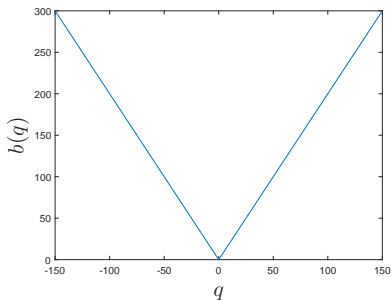
$$\mathcal{R}^*g(x_0) = f(x) * h(x) = f(x) * \frac{1}{|x - x_0|}$$



Die Regularisierung erfolgt durch verschiedene Filterfunktionen $h_{\xi}(q)$.

$$f(x) = \int_0^{\pi} \left(\int_{-1}^1 (P(q, \theta) h_{\xi}(q)) e^{2\pi i q x^T \omega(\theta)} dq \right) d\theta \quad (9)$$

Wobei hier $P(q, \theta)$ die Fouriertransformierte der Projektion ist.





Hier fasst man den Operator \mathcal{R} als eine lineare Abbildung

$$\mathcal{R}f = Af = p \quad (10)$$

auf. Die Anzahl der Zeilen von A ist gleich der Anzahl der Projektionen und die Anzahl der Spalten gleicht der Zahl der Diskretisierungsstellen zum Quadrat.

So lässt sich (10) in ein Gleichungssystem umschreiben

$$\begin{aligned} a_{11}f_1 + \dots + a_{1m}f_m &= p_1 \\ &\vdots \\ a_{j1}f_1 + \dots + a_{jm}f_m &= p_j \\ &\vdots \\ a_{n1}f_1 + \dots + a_{nm}f_m &= p_n. \end{aligned} \quad (11)$$



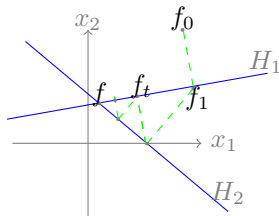
Hier fasst man den Operator \mathcal{R} als eine lineare Abbildung

$$\mathcal{R}f = Af = p \quad (10)$$

auf. Die Anzahl der Zeilen von A ist gleich der Anzahl der Projektionen und die Anzahl der Spalten gleicht der Zahl der Diskretisierungsstellen zum Quadrat.

So lässt sich (10) in ein Gleichungssystem umschreiben

$$\begin{aligned} a_{11}f_1 + \dots + a_{1m}f_m &= p_1 \\ &\vdots \\ a_{j1}f_1 + \dots + a_{jm}f_m &= p_j \\ &\vdots \\ a_{n1}f_1 + \dots + a_{nm}f_m &= p_n. \end{aligned} \quad (11)$$



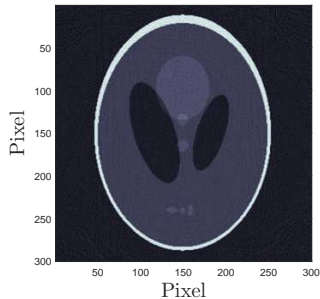
Definition (Randomisierter Kaczmarz-Algorithmus)

Sei $Af = p$ ein konsistentes, lineares Gleichungssystem. Sei $f_0 \in \mathbb{R}^m$ ein beliebiger Startwert. Für $t = 0, 1, 2, \dots$ ist der Randomisierte Kaczmarz-Algorithmus definiert als

$$f_{t+1} = f_t + \frac{p_j - \langle a_j, f_t \rangle}{\|a_j\|_2^2} a_j, \quad (12)$$

wobei a_j die j -te Zeile von A ist und p_j die dazugehörige Projektion. j wird zufällig ausgewählt.

Die Regularisierung erfolgt durch die Anzahl der Iterationen, hier mit 3 Iterationen.



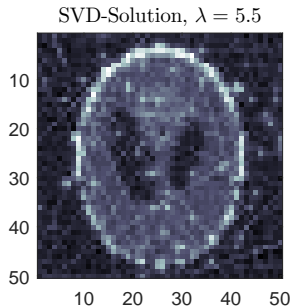
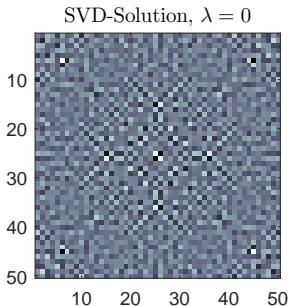


$$\mathcal{R}f = Af = (U\Sigma V^*)f = p \quad (13)$$

Invertierung von (13) führt zum Ergebnis

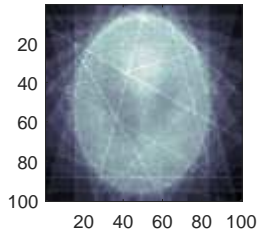
$$f = (V\Sigma^+U^*)p \quad (14)$$

Rechenergebnisse mit der Tikhonov-Regularisierung $[\Sigma^+]_{ii} = \frac{\sigma_j}{\lambda^2 + \sigma_j^2}$.

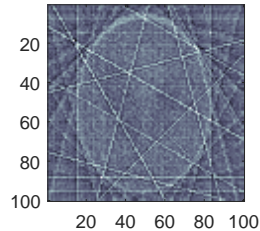




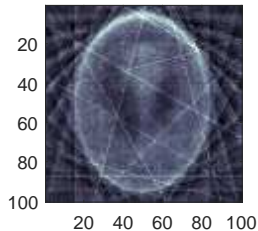
Only back projection



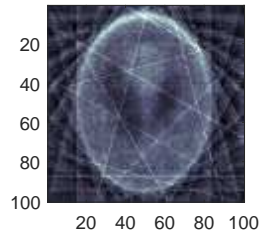
Ramp filtered



Iterative solution, 3 iterations



SVD-Solution, $\lambda = 4$



Vielen Dank für Ihre Aufmerksamkeit.
Für Fragen und Anregungen stehe ich Ihnen gerne zur Verfügung.